

УДК 621.01

УСЛОВИЯ ПЛАВНОГО СОПРЯЖЕНИЯ ПЕРЕХОДНОГО УЧАСТКА**Бостанов Б.О.***РГП на ПХВ «Евразийский национальный университет им. Л.Н. Гумилева»,
Астана, e-mail: bostanov_bayandy@mail.ru*

Рассмотрена беговая дорожка асимметричного планетарного вибровозбудителя (АПВ) комбинированной формы, состоящей из дуг окружности и эллипса (коники). При переходе из одной части в другую, в точках соединения возникает разрыв кривизны, вызывающий скачок центробежной силы. Для того чтобы между соединяемыми дугами коник не было скачка кривизны, необходимо вставить сглаживающий переходной участок в виде другой коники. Используя малоизвестные свойства коник определен коэффициент, связывающий радиусы кривизны двух точек с элементами коники. Найденный коэффициент позволяет определить места соединения коник для обеспечения непрерывной кривизны.

Ключевые слова: коника, радиус кривизны, скачок кривизны, переходная кривая**CONDITIONS OF SMOOTHLY MATING THE TRANSITION PORTION****Bostanov B.O.***Eurasian National university n.a. L.N.Gumilyov, Astana, e-mail: bostanov_bayandy@mail.ru*

Treadmill (for asymmetric planetary exciters) in combined form is considered consists of arcs of a circle and an ellipse (conics). In connection points there is a gap of curvature, at the transition from one part to another. It causes jump centrifugal force. Between these conics should not be a jump curvature, therefore to insert smooth transition curve in the form of another conic. By using a little-known properties of conics it was determined coefficient relating the radii of curvature of the two points of the conic. Found a factor to determine the junction conic to provide continuous curvature.

Keywords: conic, curvature radius, a jump curvature, a transition curve

Использование вибровозбудителей планетарного типа в дорожном строительстве является одним из эффективных методов повышения производительности уплотняющих машин. Широко исследованы и применяются на практике симметричные планетарные вибровозбудители, центр вращения которых совпадает с центром кривизны круговой беговой дорожки [1], но практически не исследованы планетарные вибровозбудители с некруглой (комбинированной) беговой дорожкой [2]. В инженерной практике требуется, чтобы в местах соединения непрерывные коники были не только гладкими, но и плавными.

Цель исследования – определение условий безударного соединения комбинированной беговой дорожки планетарного вибровозбудителя, установленного в вальцах дорожных катков и взаимодействующие с уплотняемой средой.

Материалы и методы исследования

Для исследования рассматривается математическая модель планетарного вибровозбудителя с комбинированной формой беговой дорожки и методика аналитического исследования с применением аппарата дифференциальной и аналитической геометрии.

Результаты исследования и их обсуждение

Рассмотрим АПВ с беговой дорожкой, составленной из полудуг окружности ради-

уса a и эллипса с полуосями a и b , форма которых описываются уравнениями $x^2 + y^2 = a^2$ и $\frac{x^2}{a^2} + \frac{y^2}{b^2} = 1$ соответственно. Точки соединения $P(a, 0)$ и $P'(-a, 0)$ расположены вдоль горизонтальной оси Ox (рис. 1, а).

Окружность является кривой, радиус кривизны которой в любой точке одинаков и равен радиусу самой окружности, т.е. $\rho = a$, а для эллипса радиус кривизны в любой точке вычисляется по формуле $\rho = \frac{(b^4 x^2 + a^4 y^2)^{3/2}}{a^4 b^4}$ и является кривой с изменяющимся радиусом кривизны.

Например, если комбинировать беговую дорожку из полудуг окружности $x^2 + y^2 = 12^2$ и эллипса $\frac{x^2}{12^2} + \frac{y^2}{15^2} = 1$, то радиусы кривизны в точке $P(12, 0)$ равны: для окружности $\rho_{ок} = 12$, для эллипса $\rho_{эл} = 18,75$. Аналогичные радиусы кривизны в точке $P'(-12, 0)$.

Таким образом, в случае соединения дуги эллипса с дугой окружности с радиусом, равным одному из полуосей, точка соединения имеет общую касательную, но имеет скачок по кривизне.

Инерционный элемент вибровозбудителя совершает движение по комбинированной беговой дорожке, составленной из

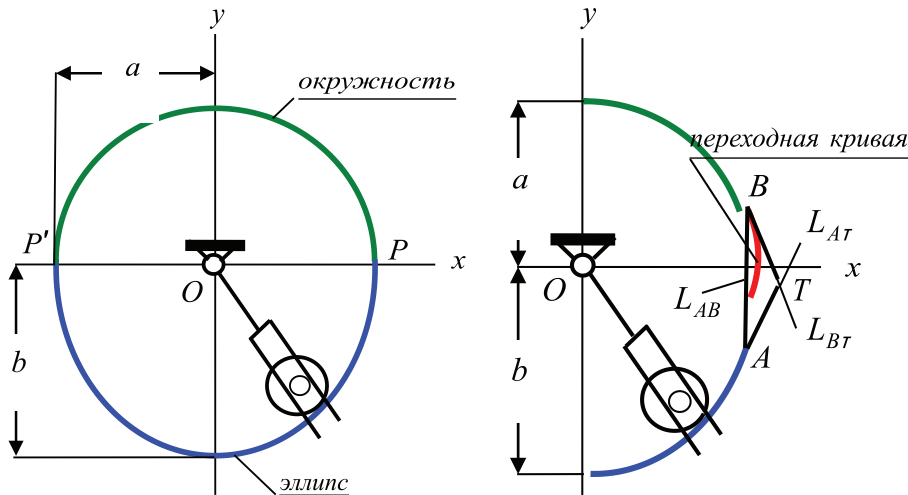


Рис. 1. Вибровозбудитель с комбинированной беговой дорожкой

дуг коник с общей касательной в точках соединения. При переходе из одной части в другую, в точках соединения возникает разрыв кривизны, вызывающий скачок центробежной силы. Для того, чтобы обеспечить переход без скачка необходимо между ними вставить переходный участок в виде дуги кривой, удовлетворяющей условиям (рис. 1, б):

а) дуга должна проходить через точки соединения \$A\$ и \$B\$;

б) соединяющая и соединяемая части должны иметь одинаковую непрерывную первую производную в точках соединения (в этой точке скорости должны быть равными);

в) соединяющая и соединяемая части должны иметь одинаковую непрерывную вторую производную в точках соединения (в этой точке радиусы кривизны должны быть равными);

Применяя метод Лайминга [3] можно получить аналитическое выражение соединяющей коники, имеющее две заданные касательные в двух точках и проходящее через третью точку в виде

$$(1-\lambda) \cdot L_{A\tau} \cdot L_{B\tau} + \lambda \cdot L_{AB}^2 = 0, \quad (1)$$

Уравнение (1) представляет пучок конических сечений, проходящих через точки \$A\$ и \$B\$, здесь прямая \$L_{A\tau} = 0\$ является касательной в точке \$A\$, а прямая \$L_{B\tau} = 0\$ – касательной в точке \$B\$, прямая \$L_{AB} = 0\$ – хордой, соединяющей точки \$A\$ и \$B\$.

Параметр \$\lambda\$, определяется заданием точки \$M\$, если точка \$M\$ имеет координаты \$x_M\$ и \$y_M\$, тогда

$$\lambda = \frac{L_{A\tau}(x_M, y_M) L_{B\tau}(x_M, y_M)}{L_{A\tau}(x_M, y_M) L_{B\tau}(x_M, y_M) - L_{AB}^2(x_M, y_M)}$$

Следовательно, кривая переходного участка беговой дорожки определяется: двумя точками соединения – точками касания \$A\$ и \$B\$; точкой пересечения касательных \$T\$; некоторой точкой \$M\$. Выбирая точку \$M\$ внутри базисного треугольника \$ATB\$ определяем непрерывную кривую первого порядка гладкости между точками соединения \$A\$ и \$B\$.

На рис. 2, а представлены несколько вариантов коник переходного участка. Все коники удовлетворяют условиям непрерывности и касания, но в точках \$A\$ и \$B\$ имеют различные радиусы кривизны. Дуги внутри базисного треугольника будут гладкими.

Выбирая параметр \$\lambda\$ в уравнений (1) определенным образом, можно получить форму кривой, удовлетворяющую условию плавности, а именно, полученная методом Лайминга коника в точках соединения \$A\$ и \$B\$ должна иметь радиусы кривизны, равные заданным радиусам кривизны \$\rho_A\$ и \$\rho_B\$.

Найдем условия, обеспечивающие непрерывность по кривизне и установим некоторые опорные закономерности.

Возьмем две точки \$A(x_A, y_A)\$ и \$B(x_B, y_B)\$ на эллипсе с радиусами кривизны \$\rho_A\$ и \$\rho_B\$ соответственно и проводим через них касательные \$L_{A\tau}\$ и \$L_{B\tau}\$. Касательные \$L_{A\tau}\$ и \$L_{B\tau}\$ взаимно пересекаются в точке \$T\$. Соединив точки \$A\$, \$B\$ и \$T\$ получаем базисный треугольник \$ATB\$, составленный из касательных \$L_{A\tau}\$, \$L_{B\tau}\$ и хорды \$L_{AB}\$. \$TC\$ медиана базисного треугольника.

Обозначим через \$l_A = AE\$, \$l_B = BE\$ – длины отрезков касательных \$L_{A\tau}\$ и \$L_{B\tau}\$ до их пересечения в точке \$T\$, \$d_A = OA\$, \$d_B = OB\$ – расстояния от центра \$O\$ до касательных \$L_{A\tau}\$ и \$L_{B\tau}\$, \$h_A = AA_h\$, \$h_B = BB_h\$ – расстояния точек \$A\$ и \$B\$ до касательных \$L_{B\tau}\$ и \$L_{A\tau}\$, \$\alpha = \angle BAT\$, \$\beta = \angle ABT\$ – углы между касательными \$L_{A\tau}\$, \$L_{B\tau}\$ и хордой \$AB\$, \$\alpha_E = \angle ATT\$, \$\beta_E = \angle BTT\$ – углы между касательными \$L_{A\tau}\$, \$L_{B\tau}\$ и медианой \$TC\$.

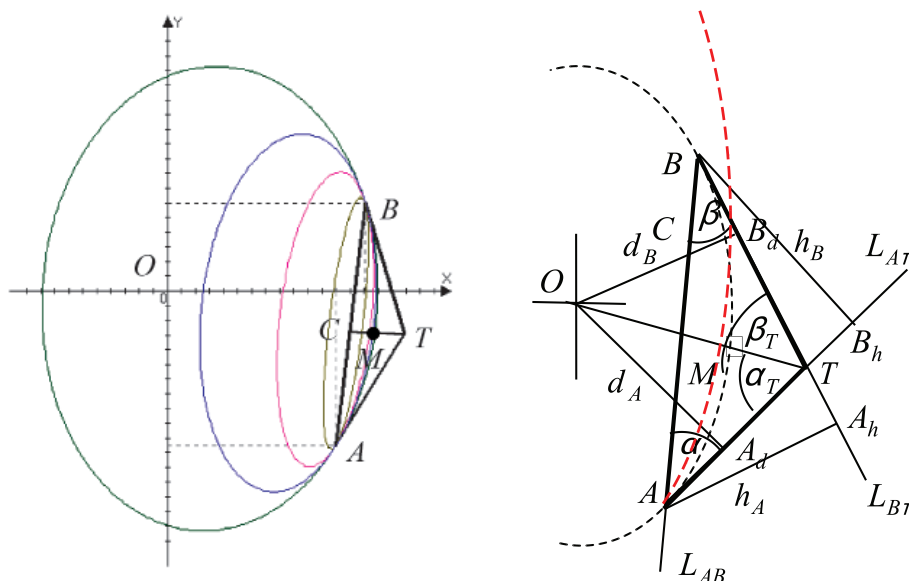


Рис. 2. Кривые Лайминга первого порядка и базисный треугольник

Известно, что радиус кривизны эллипса обратно пропорционален кубу расстояния от центра до касательной в соответствующей точке [4], то есть:

$$\rho_A = \frac{a^2 b^2}{d_A^3}, \quad \rho_B = \frac{a^2 b^2}{d_B^3}.$$

Используя их введем безразмерный коэффициент

$$\eta = \sqrt[3]{\frac{\rho_A}{\rho_B}} = \frac{d_B}{d_A}$$

и назовем коэффициентом отношения радиусов кривизны.

Введенный таким образом коэффициент η в дальнейшем будет играть определяющую роль для нахождения места плавного соединения.

Четыре точки: центр эллипса O , точки основания перпендикуляров A_d и B_d и точка пересечения касательных T находятся на одной окружности (окружность пересечения) [5]. Рассмотрим прямоугольные треугольники $\triangle OA_d T$ и $\triangle OB_d T$, вершины которых лежат на окружности пересечения и применяем теорему синусов. Тогда

$$\frac{\sin \beta_E}{\sin \alpha_E} = \frac{d_B}{d_A} = \eta.$$

Теперь рассмотрим треугольники $\triangle ACT$ и $\triangle BCT$, которых получаем от базисного треугольника делением медианой TC , т.е. $AC = BC$, и аналогично применяя теорему синусов получаем

$$\frac{\sin \beta_E}{\sin \alpha_E} = \frac{\sin \beta}{\sin \alpha} = \eta.$$

Для базисного треугольника $\triangle ATB$ имеем

$$\frac{\sin \beta}{\sin \alpha} = \frac{l_A}{l_B} = \eta.$$

Из прямоугольных треугольников $\triangle AA_h B$ и $\triangle AB_h B$ с общей гипотенузой AB (хорда) получаем

$$\frac{\sin \beta}{\sin \alpha} = \frac{h_A}{h_B} = \eta.$$

Таким образом, если имеем две точки A и B эллипса с радиусами кривизны ρ_A и ρ_B , то отношения между соответствующими элементами базисного треугольника $\triangle AEB$, составленного из касательных L_{A_t} , L_{B_t} и хорды L_{AB} , равны коэффициенту отношения радиусов кривизны η :

$$\frac{\sin \beta}{\sin \alpha} = \frac{\sin \beta_E}{\sin \alpha_E} = \frac{d_B}{d_A} = \frac{l_A}{l_B} = \frac{h_A}{h_B} = \eta. \quad (2)$$

Приведем пример, показывающий связь длин касательных с радиусами кривизны в точках касания. Пусть комбинированная беговая дорожка состоит из полудуг окружности $x^2 + y^2 = 30^2$ и полуэллипса $\frac{x^2}{30^2} + \frac{y^2}{35^2} = 1$. Выберем на эллиптической части стартовую точку – начальную точку сопряжения $A(24; 21)$, где радиус кривизны $\rho_A = 35,1253$. Финишная точка – конечная точка сопряжения B на дуге окружности радиуса $\rho_B = 30$ определяется так, чтобы выполнялось условие (2): $\frac{l_A}{l_B} = \eta$. Иско-

мая точка $B(29,2997; 6,444)$. Имеем базисный треугольник с вершинами $A(24; 21)$, $B(29,2997; 6,444)$, $C(32,3899; -7,9489)$. Тогда

$$\eta = \sqrt[3]{\frac{\rho_A}{\rho_B}} = 1,0539,$$

$$l_A = 15,5152, l_B = 14,7209.$$

Действительно,

$$\frac{l_A}{l_B} = \frac{15,5152}{14,7209} = 1,0539.$$

Заключение

Полученные соотношения (2), характеризующие свойства эллиптической беговой дорожки, позволяет определить положение точки B и построить переход-

ной участок, который обеспечивает безударный переход из одного участка в другой участок.

Список литературы

1. Пановко Г.Я. Динамика вибрационных технологических процессов. – М.-Ижевск: НИЦ «Регулярная и хаотическая динамика» Институт компьютерных исследований, 2009. – 176 с.
2. Бостанов Б.О., Темирбеков Е.С., Дудкин М.В. Планетарный вибровозбудитель с эллиптической дорожкой. Роль механики в создании эффективных материалов, конструкции и машин XXI века // Тр. Всеросс. науч.-техн. конф. – Омск.: СибАДИ, 2006. – С. 66–70.
3. Фокс А., Пратт М. Вычислительная геометрия. Применение в проектировании и на производстве: пер. с англ. – М.: Мир, 1982. – 304 с.
4. Выгодский М.Я. Справочник по высшей математике. – М., 1977. – 872 с.
5. Шпигельман М. Эллипсы, параболы и гиперболы в совмещенных полярно-декартовых координатах. – М., 2006. – 460 с.